



## تحلیل انرژی و اگزرزی چرخه رانکین آلی استفاده شده برای بازیابی گرمای اتلافی از صنعت سیمان

محتبی ماموریان<sup>۱</sup>، سیدامیر حسین اکبری<sup>۲\*</sup>، یوسف جوانشیر<sup>۲</sup>

۱- دانشیار، دانشکده مهندسی مکانیک، دانشگاه فردوسی مشهد، مشهد، ایران

۲- کارشناسی، دانشکده مهندسی مکانیک و صنایع، دانشگاه سجاد، مشهد، ایران

### چکیده

امروزه محدودیت منابع سوخت‌های فسیلی جهان را تحت تاثیر خود قرار داده و ایران به عنوان یک کشور در حال توسعه، ۵۷۰ میلیون بشکه نفت از ۱۴۶۳ میلیون بشکه نفت اختصاص داده شده در بخش‌های مسکونی، صنعتی و حمل نقل را هدر می‌دهد. صنعت سیمان به عنوان یکی از مقاضیان پر مصرف انرژی، حدود ۱۴٪ از انرژی بخش صنعتی کشور را مصرف نموده که حدود ۴۰٪ از این انرژی در طول فرآیندهای تولید اتلاف می‌شود. بنابراین، این پژوهش به منظور بازیابی گرمای اتلاف شده از صنعت سیمان توسط چرخه رانکین آلی صورت گرفته و توسط نرم افزار حل‌گر معادلات مهندسی EES شبیه‌سازی شده است. همچنین، به جهت جلوگیری از خوردگی مبادله‌کن‌های گرمایی و کنترل فرآیند تبخیر سیال آلی، از یک حلقه روغن حرارتی استفاده شده است. اتانول با توان تولیدی خالص ۶۲۱۳ kW، بازده حرارتی ۹۱/۲۲٪ و بازده اگزرزی ۱۸/۲۴٪ نسبت به R1234ze(Z)، R1233zd(E)، R1234ze(Z) و R600a بهترین عملکرد را دارد است و به عنوان سیال مناسب انتخاب شده است. با افزایش هر ۱۰۰ kPa فشار ورودی به توربین بخار، بازده‌های حرارتی و اگزرزی به ترتیب ۰.۶٪ و ۰.۷٪ افزایش می‌یابند و نیز با افزایش این شاخص شدت جریان گرمی ورودی به تبخیر کننده، ۰.۵٪ کاهش می‌یابد. افزایش هر یک درجه دمای چگالنده، به طور تقریبی موجب کاهش ۰.۶٪ و بازده اگزرزی ۰.۵٪ می‌شود.

### کلمات کلیدی

صنعت سیمان، بازیابی گرمای اتلاف شده، چرخه رانکین آلی، تغییرات اقلیمی، حلقة روغن حرارتی.

## Energy and exergy analysis of the organic Rankine cycle used for recovering waste heat from the cement industry

Mojtaba Mamourian<sup>1</sup>, Seyed Amir Hossien Akbari<sup>2\*</sup>, Yousef Javanshir<sup>2</sup>

1- Department of Mechanical Engineering, Ferdowsi University of Mashhad, Mashhad, Iran

2- Department of Mechanical Engineering, Faculty of Mechanics and Industries, Sadjad University of Technology, Mashhad, Iran

### Abstract

The limitation of global fossil fuel resources has had a significant impact in recent years. Iran wastes 570 million barrels of oil out of the allocated 1463 million barrels for the residential, industrial, and transportation sectors. The cement industry, as one of the high-energy consumers, accounts for approximately 14% of the country's industrial energy consumption, with about 40% of this energy being lost during production processes. This study aims to recover the waste heat from the cement industry using the Rankine cycle and simulate it using the Engineering Equation Solver (EES) software. Additionally, a thermal oil loop has been employed to prevent corrosion of heat exchangers and control the organic fluid evaporation process. Ethanol has been selected as the suitable working fluid, with a net power production capacity of 6213 kW, a thermal efficiency of 91.22%, and an exergy efficiency of 18.24%, outperforming R123, R1233zd(E), R1234ze(Z), and R600a. Increasing the turbine's inlet pressure by 100 kPa increases thermal and exergy efficiencies by 2.7% and 2.67%, respectively, while decreasing the mass flow rate into the evaporator by 5.6%. Increasing the condenser temperature by one degree results in approximately a 5.6% reduction in thermal efficiency and a 5.5% reduction in exergy efficiency.

### Keywords

cement industry, waste heat recovery, organic rankine cycle, climate change, thermal oil loop.

\* سید امیر حسین اکبری، sahakbari@yahoo.com

## ۱-مقدمه

با این حال، همواره در کنار مسئله‌ی محدودیت منابع سوخت‌های فسیلی، بحث زیستمحیطی نیز مطرح بوده است. دی‌اکسیدکربن به عنوان بزرگ‌ترین نماینده گازهای گلخانه‌ای به تنها‌ی بیش از ۱۰۰۰ سال بر روی آب و هوا تاثیر می‌گذارد و با جذب اشعه مادون قرمز منعکس شده توسط زمین، موجب پدیده گرمایش زمین می‌شود [۵]. این پدیده، جهان را از نظر تنش آب و هوایی تحت تاثیر قرار داده است، که بنابر گزارش مرکز ملی و پایش خشکسالی ایران<sup>۱</sup>، میانگین دمای هوای ایران در ۳۰ سال گذشته  $1/68^{\circ}\text{C}$  افزایش یافته است و این مسئله ممکن است خساراتی از جمله خشکسالی، باران‌های اسیدی و افزایش سطح دریاهای را به همراه داشته باشد [۴]. شاید ماهیت روبه توسعه بودن ایران، این تقاضای روزافزون را توجیه نماید؛ اما تلفات انرژی در طول فرآیند تولید تا عرضه انرژی در ایران بیش از ۵۷۰ میلیون بشکه نفت گزارش شده است و با وجود این اتلاف انرژی، تقاضا برای تامین برق از سال ۱۹۹۵ تا ۲۰۱۹ سالانه رشد سریع  $5/36$  درصدی را تجربه کرده است. حدود  $490/50$  میلیون بشکه نفت وارد بخش نیروگاههای حرارتی می‌شود که از این میزان  $19/18$  میلیون بشکه نفت تبدیل به برق شده و  $310/70$  میلیون بشکه نفت هدر می‌شود. در بخش صنعتی مصرف  $357/99$  میلیون بشکه نفت گزارش شده است. این بخش توانایی صرفه جویی در  $100$  میلیون بشکه نفت را با خود به همراه دارد که از این میزان،  $67\%$  مربوط به صنعت آهن و فولاد و  $17\%$  آن مربوط به صنعت سیمان می‌باشد [۲].

در پژوهش جاری برای جلوگیری از اتلافات انرژی و دستیابی به انرژی پاک در صنعت سیمان، فناوری چرخه رانکین آلی<sup>۲</sup> یا به اختصار ORC مورد ارزیابی قرار گرفته شده است؛ که در بخش‌های بعدی به طور کامل تشریح

رشد جمعیت، علاقه به شهرنشینی و توسعه فناوری موجب شده است تا در سالیان اخیر کشورهای جهان با چالش‌هایی جدی برای تامین انرژی روبه‌رو شوند [۱]. ایران به عنوان یکی از غنی‌ترین کشورهای جهان از نظر ذخایر انرژی‌های تجدیدناپذیر مانند نفت و گاز، به دلیل مصارف ناکارآمد انرژی در بخش‌های مسکونی، صنایع و حمل و نقل با خطر ناتوانی برای پاسخگویی به تقاضای این نیاز روبه‌رو است [۲]. طبق گزارش‌های ثبت شده توسط پژوهه تحلیل تجارت جهانی<sup>۳</sup> در سال ۲۰۱۱، ایران برای پاسخ‌گویی به تقاضای انرژی، سالیانه ۵۰۰ مگاتن دی‌اکسیدکربن را وارد جو می‌کند [۳]. با توجه به منابع عظیم نفت و گاز، این دو سوخت فسیلی بیش از  $99$  درصد انرژی مورد نیاز کشور را تامین می‌کنند [۱]. به عنوان مثال، بخش مسکونی به عنوان بزرگ‌ترین مشترک پرصرف انرژی، حدود  $408$  میلیون بشکه نفت را به خود اختصاص داده است و بعد از آن صنایع تولیدکننده آهن و فولاد، سیمان، شیشه‌سازی و... حدود  $357$  میلیون بشکه نفت را به خود اختصاص نموده‌اند، جدول ۱ مصرف نهایی انرژی در بخش‌های مختلف را برای ایران نمایش می‌دهد [۴].

جدول ۱: مصرف نهایی انرژی بخش‌های مختلف در سال ۲۰۱۸

بخش	به ازای میلیون بشکه نفت
مسکونی، تجاری	$488/72$
صنعت	$375/32$
حمل و نقل	$357/99$
پتروشیمی	$164/79$
کشاورزی	$57/89$
دیگر صنایع	$4/46$
مصارف نامشخص	$13/96$
مجموع	$1463/34$

<sup>۱</sup> Global Trade

<sup>۲</sup> National Drought Warning and Monitoring Center of Iran  
<sup>۳</sup> Organic Rankine Cycles

یکی از متقاضیان پرصرف انرژی، حدود ۷٪ انتشار گاز دی اکسید کربن جهان را به خود اختصاص داده است و به ازای هر یک کیلوگرم سیمان، ۰/۸۲ کیلوگرم دی اکسید کربن تولید می شود. مقدار گرمای آزاد شده از این صنعت به محیط ممکن است تا ۴۰٪ انرژی مصرف شده در فرآیند تولید برسد و نیز این انرژی مصرفی معمولاً ۳۰ الی ۴۰ درصد هزینه تولید را شامل می شود [۹ و ۱۰].

جدول ۲: دمای گازهای صنعتی در فرآیندهای مختلف [۸]

صنعت	فرآیند تولید	دما (°C)
سیمان	گاز خروجی از پیش گرم کن	۴۵۰ الی ۲۰۰
آهن و فولاد	هوای خنک کننده کلینکر	۳۰۰ الی ۲۰۰
شیشه	کوره قوس الکتریک	۲۵۰
	کارخانه نورد	۳۵۰ الی ۳۰۰
	ذوب شیشه طرف	۲۰۰ الی ۱۴۰
	ذوب فایبر گلاس	۱۶۰ الی ۱۴۰
سرامیک	گازهای کوره	۳۰۰ الی ۲۰۰

تولید سیمان در ایران ۱۵٪ از کل مصرف انرژی و ۱۸٪ از کل مصرف گاز طبیعی را با خود به همراه دارد. بیشترین انتشار گاز دی اکسید کربن در صنعت سیمان مربوط به تولید کلینکر می شود و متوسط مصرف انرژی برای تولید سیمان در ایران ۸۴۰ کیلوکالری به ازای هر کیلوگرم کلینکر گزارش شده است [۱۱]. فرآیند تولید سیمان اساساً شامل استخراج و تهیه مواد خام، پیش گرم کردن مواد خام، پختن مواد در کوره، خنک سازی کلینکر و آسیاب نهایی می باشد [۱۰]. مطابق شکل ۲، مواد اولیه توسط گازهای می باشد [۱۱ و ۱۲]. مطابق شکل ۱، فناوری غیرفعال شامل: ذخیره انرژی گرمایی<sup>۱</sup> و مبادله کنندهای گرمایی از جمله صفحه‌های، صرفه جو، پیش گرم کن هوا و انواع احیاگرهای می باشد و پمپ‌های گرمایی<sup>۲</sup>، چرخه رانکین آلی و مولد ترموالکتریک<sup>۳</sup> فناوری فعال را تشریح می کنند. همچنین، حالت فعال در دسته‌های تولید گرما، تولید سرما و تولید برق طبقه‌بندی می شود.

## ۲- بازیابی گرمای اتلاف شده از صنعت سیمان توسط ORC

### ۲-۱- بازیابی گرمای اتلاف شده

منظور از گرمای اتلاف شده از صنایع، بخشی از انرژی هزینه شده برای فرآیندهای صنعتی می باشد که عمدتاً از طریق انتقال حرارت رسانش، همرفت و تابش بلا استفاده به محیط دفع می شود. این اتلافات انرژی را می توان در سه محدوده دمابالا (بیش از ۴۰۰°C)، دمamتوسط (محدوده دمای ۲۰۰ الی ۴۰۰°C) و دمای پایین (کمتر از ۲۰۰°C) دسته‌بندی کرد [۶]. به جهت استفاده از گرمای اتلاف شده در صنایع، فناوری‌های مختلفی ارائه شده‌اند که می توان آن‌ها را تحت دو عنوان غیرفعال و فعال طبقه‌بندی کرد؛ اگر این گرمای از دست رفته به جهت پیش گرمایش فرآیندهای صنعتی استفاده گردد، حالت غیرفعال رخ می دهد و اگر از گرمای اتلاف شده به جهت تولید برق و یا افزایش دما استفاده شود، حالت فعال اتفاق افتاده است [۷].

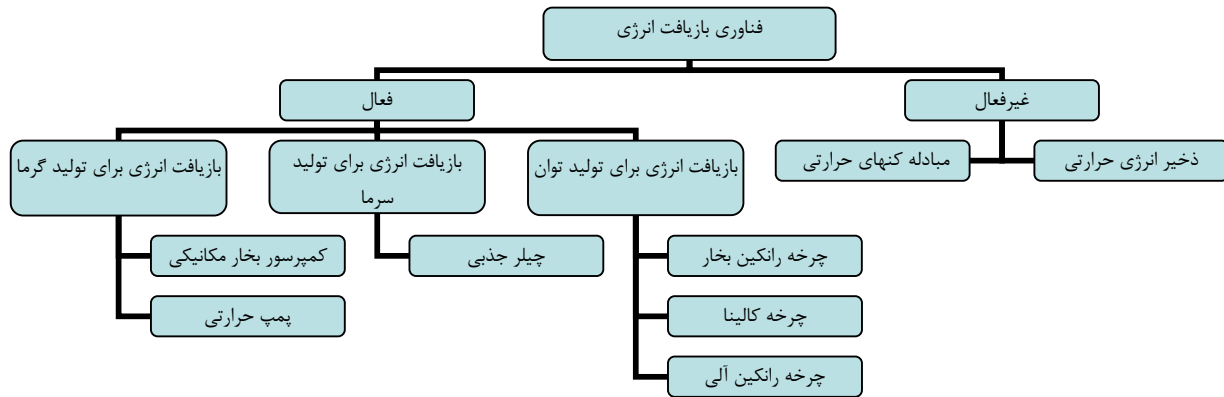
مطابق شکل ۱، فناوری غیرفعال شامل: ذخیره انرژی گرمایی<sup>۱</sup> و مبادله کنندهای گرمایی از جمله صفحه‌های، صرفه جو، پیش گرم کن هوا و انواع احیاگرهای می باشد و پمپ‌های گرمایی<sup>۲</sup>، چرخه رانکین آلی و مولد ترموالکتریک<sup>۳</sup> فناوری فعال را تشریح می کنند. همچنین، حالت فعال در دسته‌های تولید گرما، تولید سرما و تولید برق طبقه‌بندی می شود.

فرآیندهای صنعتی، انرژی را با کمیت‌ها و کیفیت‌های متفاوتی به محیط دفع می کنند. به عبارت دیگر مطابق جدول ۲، گرمای های هدر رفته از صنایع در طیف وسیعی از دمایا قرار دارند [۶ و ۸]. صنعت سیمان به عنوان

<sup>۱</sup> thermal energy storage

<sup>۲</sup> heat pumps

<sup>۳</sup> organic Rankine cycles



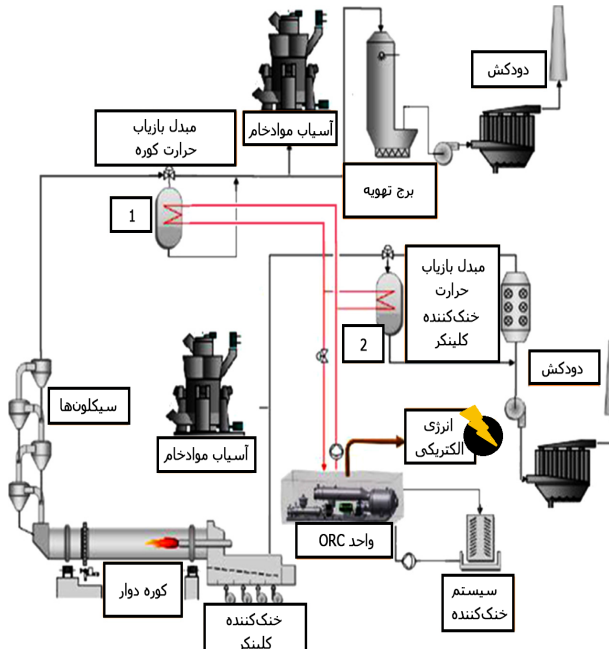
شکل ۱: طبقه‌بندی فناوری‌های بازیافت انرژی.

جدول ۳: داده‌های واقعی برای دمای هوای استفاده شده در فرآیند خنک‌سازی کلینکر و گاز خروجی از پیش‌گرم کن [۱۲]

$T_i$ (°C)	$\dot{m}$ (kg/s)	$T_i$ (°C)	$\dot{m}$ (kg/s)	تولید کلینکر (ton/d)
۳۷۵/۰۰	۷۶/۷۱	۲۸۰/۰۰	۵۷/۵۳	۳۰۰
۳۸۵/۰۰	۷۶/۵۰	۳۶۰/۰۰	۳۳/۱۶	۳۰۰
۳۴۰/۰۰	۱۲۶/۵۶	۳۲۰/۰۰	۸۶/۲۰	۵۰۰
۳۴۰/۰۰	۱۵۹/۰۰	۳۰۰/۰۰	۱۲۶/۱۰	۶۳۰

علاوه بر وابستگی صنعت سیمان به نفت و گاز، این صنعت احتیاج شدیدی به برق دارد. انرژی الکتریکی مصرفی در فرآیند تولید سیمان ۱۱۰ الی ۱۲۰ کیلووات ساعت در هر تن گزارش شده است که تقریباً ۴۰٪ از این انرژی مورد نیاز، مربوط به فرآیند آسیاب می‌باشد [۱۴]. بررسی‌ها نشان می‌دهد که بازیابی گرمای اتلاف شده از صنعت سیمان ممکن است ۲۰ الی ۳۰ درصد انرژی الکتریکی این صنعت را تامین کند. سه فناوری تعریف شده برای تولید برق توسط بازیابی گرمای اتلاف شده مطابق شکل ۱ عبارت است از: چرخه رانکین بخار، چرخه کالینا و چرخه رانکین آلی، که می‌توانند بخشی از این نیاز را رفع کنند. استفاده از چرخه رانکین بخار، رایج‌ترین روش برای بازیابی گرمای اتلاف شده می‌باشد. همچنین طبق تحقیقاتی صورت گرفته، این چرخه قدرت برای محدوده دمای‌های بیش از  $600^{\circ}\text{C}$  مناسب است.

بنابراین در صنعت سیمان، انرژی تحت دو حالت خنک‌سازی کلینکر و نیز گازهای خروجی از پیش‌گرم کن به محیط دفع می‌شود. جدول ۳ اطلاعاتی مربوط به محدوده دمای‌های فرآیند خنک‌سازی کلینکر و گاز خروجی از پیش‌گرم کن را بر اساس تولید هر تن در روز نمایش می‌دهد.



شکل ۲: فرآیند تولید برق از گرمای اتلافی صنعت سیمان [۱۲].

جدول ۴: پروژه‌های منتخب بازیابی حرارت اتلافی در صنعت سیمان [۱۷]:

مکان	مشتری	وضعیت	فناوری بازیافت انرژی	توان
آلمان - اوریته	کارخانه سیمان پرتلند	اعطا شده	اورکان انرژی - چرخه رانکین آلی	۸ مگاوات
آلمان - لانگفورد	سیمان هایدلبرگ	از سال ۱۹۹۹ تا به الان فعال است	اورمات - چرخه رانکین آلی	۲ مگاوات
ایتالیا - پدروبا	صنعت سیمان جیوانی روسی	-	توربودن - چرخه رانکین آلی	۳/۶ مگاوات
ایتالیا - پیاچنزا	صنعت سیمان جیوانی روسی	در حال ساخت	توربودن - چرخه رانکین آلی	۲ مگاوات
پرتفال- اوتنو - ستووال	گروه سیکلی	در حال ساخت	توربودن - چرخه رانکین آلی	۷/۲ مگاوات
اسلواکی - روهوژنیک	سی ارج	از سال ۲۰۱۴ تا به الان فعال است	توربودن - چرخه رانکین آلی	۵ مگاوات
رومانی - آلسد	هولسیم	از سال ۲۰۱۲ تا به الان فعال است	توربودن - چرخه رانکین آلی	۴ مگاوات

شرکت اورمات<sup>۱</sup> و توربودن<sup>۲</sup> سازندگان اصلی از نظر واحدهای نصب شده و توان ثبت شده به شمار می‌آیند [۱۸].

## ۲-۲- چرخه رانکین آلی

چرخه رانکین آلی، به عنوان یک فناوری برجسته برای تولید برق در محدوده دماهای پایین، نظر محققین را به خود جلب کرده است [۸]. این چرخه مانند چرخه رانکین بخار، چهار فرآیند تراکم، جذب گرما، انبساط و دفع گرما را طی می‌کند [۱۹]. علاوه بر بازدهی در محدوده دماهای پایین، ویژگی دیگری که این چرخه را نسبت به چرخه رانکین بخار متمایز می‌سازد، انتخاب سیال عامل آن است [۹]. در دسترس پذیری، پایداری در دماهای بالا، ارزان قیمت، غیررسمی و اشتعال ناپذیر بودن، ویژگی‌هایی است که موجب می‌شود آب به عنوان بهترین سیال عامل در چرخه‌های بخار سناخته شود؛ اما این سیال فقط در محدوده دماهای بالا کاربرد دارد و در محدوده دماهای پایین ممکن است در طی فرآیند انبساط، قطرات آب تشکیل شده موجب تخریب پره‌های توربین شوند [۱۸]. این امر را می‌توان در طول فرآیند انبساط توربین مطابق شکل ۳ تشریح کرد. در شکل ۳-الف، آب به عنوان سیال عامل پس از فرآیند انبساط، در ناحیه دو

با این حال مطابق جدول ۳، دمای گرمای اتلافی از صنعت سیمان در محدوده دماهای ۲۰۰ الی ۴۰۰ درجه سلسیوس ثبت شده است که چرخه رانکین بخار در این محدوده دما عملکرد مناسبی ندارد؛ اما در محدوده دماهای متوسط، چرخه کالینا و چرخه رانکین آلی می‌توانند ۲۰ الی ۴۰ درصد عملکرد بهتری را ارائه دهند. چرخه کالینا به علت استفاده از سیال مخلوط آب و آمونیاک دارای ساختار پیچیده، هزینه سرمایه‌گذاری و هزینه نگهداری بالایی است [۹ و ۱۵]. چرخه رانکین آلی بر خلاف چرخه کالینا در هزینه‌های عملیاتی و نگهداری منعطف‌تر است که این موضوع سبب شده تا این چرخه نسبت به چرخه کالینا به صورت تجاری بیشتر در دسترس باشد [۱۲ و ۱۶]. بنابراین، استفاده از گرمای اتلاف شده در صنعت سیمان توسط چرخه رانکین آلی می‌تواند طیف وسیعی از فرسته‌ها را برای این صنعت فراهم نماید که در بخش‌های آینده به آن پرداخته می‌شود [۱۳]. جدول ۴ برخی از تولیدکنندگان سیمان در قاره‌ی اروپا را بر اساس واحدهای نصب شده چرخه رانکین آلی نمایش می‌دهد (این جدول بنابر گزارش‌های دفتر انتشارات اتحادیه اروپا<sup>۱</sup> در سال ۲۰۱۹ تهیه شده است) [۱۴]. تجاری‌سازی فناوری چرخه رانکین آلی از ابتدای دهه ۱۹۸۰ آغاز شد و در حال حاضر با رشد تقریباً تصاعدی روبرو است.

<sup>۱</sup> Publications Office of the European Union

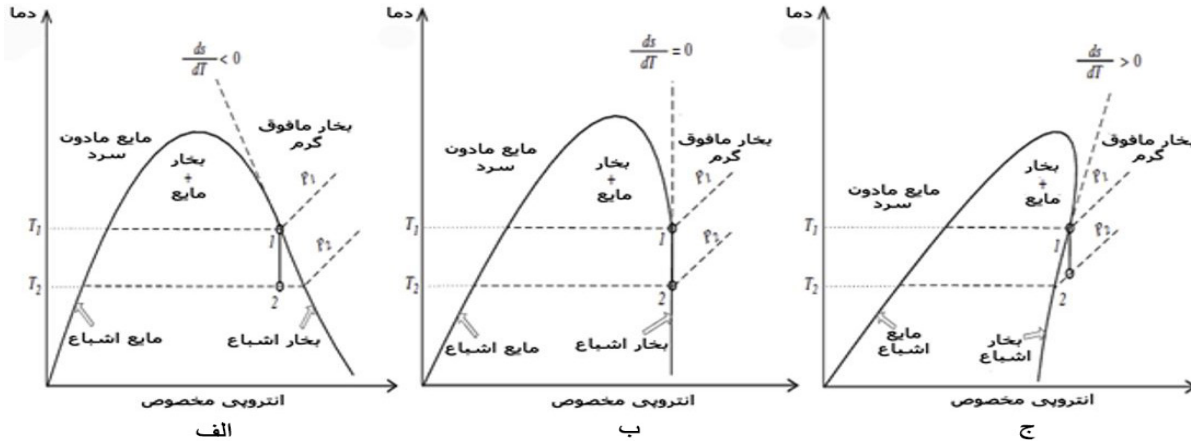
<sup>۲</sup> ORMAT-US

<sup>۳</sup> Turboden-Italy

کاهش می‌یابد [۱۸].

بنابراین، انتخاب سیال عامل مناسب برای بهره‌وری از چرخه رانکین آلی اهمیت ویژه‌ای پیدا می‌کند. دیگر تفاوت‌های موجود میان چرخه رانکین بخار و چرخه رانکین آلی در جدول ۵ مقایسه شده‌اند.

فازی قرار گرفته است و به تعبیر دیگر، شب تغییرات انتروپی‌ویژه نسبت به تغییرات دما در طول فرایند انبساط منفی است و این دسته از سیالات که به عنوان سیال مرطوب<sup>۱</sup> شناخته می‌شوند، به علت جلوگیری از خوردگی پرهای توربین، حتماً باید به صورت سیال مافوق گرم وارد توربین شوند.



شکل ۳: فرآیند انبساط تک انتروپی در نمودارهای دما-انتروپی‌ویژه، به ترتیب از راست به چپ برای سه سیال مرطوب، تکانتروپی و خشک [۹].

جدول ۵: ارزیابی چرخه رانکین بخار با چرخه رانکین آلی [۱۵]

عنوان	سیال عامل	مواد آبی به عنوان سیال	چرخه رانکین بخار	چرخه رانکین آلی
عامل	عامل	مواد آبی به عنوان سیال	بخار	چرخه رانکین آلی
پایین	بالا	دما جوش در	فشار ثابت	دما
پایین	بالا	دمای بحرانی	فشار بحرانی	دما
پایین	بالا	فشار بحرانی	اشتعال پذیری	اشتعال پذیری
اشتعال پذیر	غیرقابل اشتعال	بر روی محیط	اثرات	زیستمحیطی
ممکن است بر روی محیط	زیست تاثیری ندارد	زیست تاثیری ندارد	زمیت	زمیت
زیست تاثیری بگذارد	غیرسمی	غیرسمی	هزینه	هزینه
ممکن است سمی باشد	ارزان قیمت	ارزان قیمت	قابلیت دسترسی	قابلیت دسترسی
گران قیمت	همواره در دسترس	همواره در دسترس	و موجود می‌باشد	و موجود می‌باشد
ممکن است در دسترس	نیاشد	نیاشد		

<sup>۱</sup> Wet Fluid

<sup>۲</sup> Isentropic Fluid

<sup>۳</sup> Dry Fluid

همچنین، شکل ۳-ب و شکل ۳-ج به ترتیب سیال تکانتروپی<sup>۲</sup> و خشک<sup>۳</sup> را نمایش می‌دهند [۹]. سیالات خشک و تکانتروپی بر عکس سیالات مرطوب پس از فرآیند انبساط خارج از ناحیه دوفازی قرار می‌گیرند و این مسئله عدم نیاز به مافوق گرم شدن (حداکثر به صورت بخار اشباع) سیال عامل در چرخه بخار را به جهت جلوگیری از تخریب پرهای توربین توجیه می‌کند. این مسئله موجب می‌شود تا طول عمر پرهای توربین در چرخه رانکین بخار از ۱۵ تا ۲۰ سال، به ۳۰ سال افزایش یابد. همچنین به علت کاهش تنش حرارتی ناشی از عدم مافوق گرم کردن سیال عامل، علاوه بر توربین، در دیگر بخار نیز هزینه‌های تعمیر و نگهداری

در مورد تخریب لایه اوزون توسط CFC منتشر شد [۲۲].

دیگر برسی‌ها نشان می‌دهند که یک اتم کلر می‌تواند ۱۰۰ هزار مولکول اوزون را از بین برد و هر چه محتوای کلر یک ترکیب بیشتر باشد، تاثیر آن بر لایه اوزون بیشتر خواهد بود [۲۳]. در نتیجه این گزارشات، توافقنامه بین‌المللی با عنوان معاهده مونترال در سال ۱۹۸۷ به جهت حفظ لایه اوزون شکل گرفته و این معاهده بر حذف تدریجی CFCs به علت پتانسیل تخریب لایه اوزون<sup>۳</sup> (ODP) بالا تا پایان سال ۲۰۱۰ استمرار داشت [۲۲]. در نهایت، در سال‌های ۱۹۹۰ الی ۲۰۱۰ هیدروکلروفلوروکربن‌ها به علت ODP پایین، بیش‌تر از CFCs مورد توجه قرار گرفتند و نیز HFCs، HC، Dی‌اسیدکربن و آمونیاک در این بازه زمانی پیشنهاد شدند [۲۰ و ۲۲]. پس از نگرانی‌ها درباره تخریب لایه اوزون، بحث تغییرات آب و هوایی یا گرمایش زمین جامعه جهانی را در بر گرفت. همانطور که در قسمت مقدمه توضیح داده شد، انتشار روز افزون گازهای گلخانه‌ای نقش اصلی را در گرمایش زمین ایفا می‌کند و دی‌اسیدکربن، HCFCs، CFCs، متان و اکسید نیتروژن نمایندگان اصلی گازهای گلخانه‌ای در جو هستند. همانند ODP که معیاری برای ارزیابی تخریب لایه اوزون است، معیار منتخب برای ارزیابی گرمایش زمین تحت عنوان پتانسیل گرمایش زمین<sup>۴</sup> (GWP) شناخته می‌شود [۲۳]. با این حال، نسل چهارم سیالات از سال ۲۰۱۰ به بعد، با در نظر گرفتن عواملی همچون؛ GWP کمتر از ۱۵۰، ODP صفر، بازده حرارتی مناسب و ایمنی (از نظر اشتعال‌پذیری و سمی‌بودن) و پایداری مولکولی بالا انتخاب می‌شوند [۲۰]. که نمایندگان نسل چهارم سیالات عامل شامل: مبردهای طبیعی، HFCs و سیالات مخلوط می‌شوند.

علی‌رغم تلاش‌های فراوانی که از جانب دیگر محققان

### ۳-۲- انتخاب سیال عامل

چرخه رانکین آلی را می‌توان بر اساس ترکیب شیمیایی سیال به انواع خالص و مخلوط طبقه‌بندی کرد [۱۹ و ۱۳]. سیالات آلی خالص مانند الکل‌ها، اترها، Dی‌اسیدگوگرد، مبردهای طبیعی (Dی‌اسیدکربن، آمونیاک و هیدروکربن‌ها) و مبردهای غیرطبیعی (هیدروفلورهای، هیدروفلوروفلوروالفین‌ها و هیدروفلوروفلوروفین‌ها) به علت پایداری شیمیایی بالا و خواص شناخته شده‌ی ترموفیزیکی، بیش‌تر از سیالات مخلوط مورد استفاده قرار گرفته‌اند [۲۰]. سیالات مخلوط از دو و یا چند سیال خالص تشکیل شده‌اند، بر اساس رفتارشان در فرآیند تغییر فاز تبخیر، به دو گروه آزئوتروپیک و زئوتروپیک دسته‌بندی می‌شوند. در مخلوط آزئوتروپیک، شب دما در طول فرآیند تغییر فاز ثابت است و رفتاری مشابه با سیال خالص دارند [۱۹ و ۲۱]. به تعبیر دیگر، دمای نقطه حباب ( نقطه‌جوش ) این مخلوط‌ها با دمای نقطه شبنم در فشار ثابت برابرند. در مقابل، سیال زئوتروپیک در فرآیند تغییر فاز، شب دمای غیر صفر دارد [۲۱]. علاوه بر مطالب ذکر شده، انتخاب سیال عامل مناسب برای ORC را می‌توان در چهار مرحله مطابق شکل ۴ تشریح کرد. از آغاز دوران تجاری‌سازی فناوری چرخه رانکین آلی در سال ۱۸۵۳، سیالاتی همچون آمونیاک، Dی‌اسیدکربن، Dی‌اسیدگوگرد، تتراکلریدکربن، متیل فرمات و غیره به عنوان سیالات عامل نسل اول و به جهت کارایی بهتر پیشنهاد شده‌اند؛ این نسل از سیالات به علت مسائل امنیتی از قبیل اشتعال‌پذیری، سمی‌بودن و نیز دردسترس نبودن توسعه نیافتدن [۲۱]. نسل دوم سیالات در سال ۱۹۳۰ معرفی شدند. این نسل از سیالات متشکل از کلروفلوروکربن‌ها (CFC) و هیدروفلوروفلوروکربن‌ها (HCFCs) می‌باشند [۲۰ و ۲۱]. در سال ۱۹۷۴ برای اولین بار گزارشی توسط دو دانشمند به نام‌های رولندا<sup>۵</sup> و مولینا<sup>۶</sup>

<sup>۱</sup> Rowland

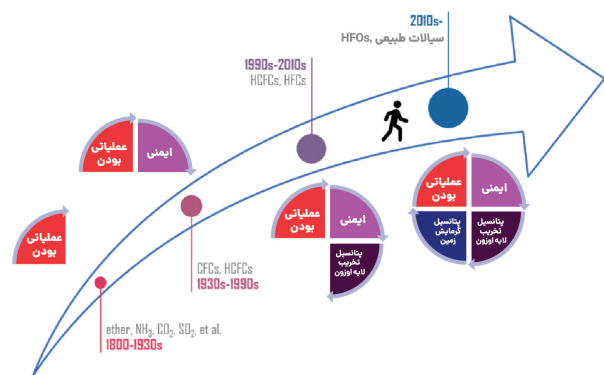
<sup>۲</sup> Molina

<sup>۳</sup> Ozone depletion potential

<sup>۴</sup> Global warming potential

نتایج به دست آمده از این پژوهش نشان می‌دهند که، R<sub>1234ze</sub>(E) و R<sub>1234ze</sub>(Z) را معرفی کردند، بازده حرارتی و نیز R<sub>1234ze</sub>(E) و R<sub>1234ze</sub>(Z) عملکرد مشابهی R<sub>245fa</sub> از نظر مبادله کن گرمایی صفحه‌ای نسبت به R<sub>245fa</sub> ایفا می‌کند [۲۵]. در سال ۲۰۲۰، هرات<sup>۲</sup> و همکاران به بررسی ۷ سیال عامل مناسب برای چرخه رانکین آلی با در نظر گرفتن مسائل زیستمحیطی پرداختند، آن‌ها در این پژوهش متوجه شدند که با افزایش فشار چگالنده، بازده حرارتی افزایش یافته و نیز با افزایش دمای چگالنده بازده حرارتی کاهش می‌یابد. همچنین، بنزن به عنوان سیال عامل، بازدهی قابل توجهی در طیف وسیعی از دماها را نسبت به R<sub>245fa</sub> نشان می‌دهد [۲۸]. در سال ۲۰۲۱ هاشوی<sup>۳</sup> و همکاران، به طراحی چرخه رانکین آلی که از منبع حرارتی خورشیدی (متمنکرنده سهموی)<sup>۴</sup> و از ذخیره انرژی تغذیه می‌کند، پرداختند. آن‌ها در پژوهش خود از تولوئن، سیلکوهوگزان، بنزن، هگزامتیل دی‌سیلوکسان، ان-پنتان و ان-هگزان به عنوان سیال عامل استفاده کردند. نتایج حاصل از این پژوهش نشان می‌دهد که تولوئن بهترین عملکرد را نسبت به دیگر سیالات با چشم‌پوشی از تراکم خلاء دارد [۲۷]. با توجه به هدف اصلی این پژوهش، بازیابی گرمای اتلاف شده از صنایع می‌تواند نقش بسزایی در کاهش هزینه‌های انرژی و جلوگیری از تغییرات اقلیمی ایفا کند. بنابراین، در سال ۲۰۱۳ کامپانا<sup>۵</sup> و همکاران، به بازیابی گرمای اتلاف شده از صنایع توسط چرخه رانکین آلی پرداختند و این فناوری را به عنوان بهترین فرصت در حال حاضر تلقی کردند. در این پژوهش، ظرفیت تولید توان توسط ORC با در نظر گرفتن صنایع پرصرف انرژی در اروپا مانند صنعت سیمان، صنعت فولاد

در زمینه انتخاب سیال عامل برای ORC شکل گرفته است، سیالات عامل سازگار با محیط‌زیست در ORC عملکرد ضعیفی را با خود به همراه دارند [۲۰]. به تعبیر دیگر، تقریباً هیچ سیال عامل خالصی وجود ندارد که علاوه بر مسائل زیستمحیطی، بتواند راندمان حرارتی مناسبی را ارائه دهد. طبق این امر، سیالات مخلوط می‌توانند گزینه مناسبی برای پاسخگویی به نیاز مورد نظر باشند [۲۱].



شکل ۴: مراحل انتخاب سیال عامل آلی.

با این حال، در سال ۲۰۱۷ جوانشیر و همکاران، به بررسی انتخاب سیال عامل مناسب برای چرخه ترکیبی برایتون-رانکین آلی پرداختند. آن‌ها در پژوهش خود، با در نظر گرفتن خصوصیات زیستمحیطی از قبیل ODP و GWP و نیز مسائل امنیتی مانند اشتغال‌پذیری و قابلیت سمی بودن، ۲۳ سیال عامل (تر، خشک و تکانتروپی) را مورد ارزیابی قرار دادند. نتایج حاصل از این پژوهش نشان می‌دهند که ایزو بوتان (R-۶۰۰a)، اتانول و R۱۱ بهترین عملکرد را از نظر بازده حرارتی دارند [۲۹]. در سال ۲۰۱۹ جینگ یانگ<sup>۱</sup> و همکاران، به جایگزینی سیال R<sub>245fa</sub> که یک سیال رایج در فناوری چرخه رانکین آلی است توسط HFOs پرداختند. آن‌ها در پژوهش خود سه سیال عامل

<sup>۱</sup> Jingye Yang

<sup>۲</sup> Herath

<sup>۳</sup> Haoshui

<sup>۴</sup> Parabolic Collector

<sup>۵</sup> Campana

پیشنهادی می‌باشد [۱۰]. در سال ۲۰۱۹ موریرا<sup>۱</sup> و همکاران، به بازیابی گرمای اتلافی از کارخانه تولید سیمان در ایالت میناس گریس<sup>۲</sup> بروزیل توسط چرخه رانکین آلی پرداختند. آن‌ها ظرفیت تولید روزانه کلینکر در این کارخانه را، ۳۰۰۰ تا ۶۳۰۰ تن اعلام کردند و نتایج بهدست آمده از این پژوهش بیان می‌کند که با راهاندازی چرخه رانکین آلی: ۱- توان تولیدی تخمینی برای این کارخانه ۸۰ مگاوات گزارش شده است. ۲- در این کارخانه، از انتشار ۲۲۱۰۶۹ کیلوگرم دی‌اکسیدکربن در سال جلوگیری می‌شود. ۳- از نظر توان تولیدی، بازده حرارتی و بازدهی اگزرزی، R141b، R11 و R123 بهترین عملکرد را دارا است [۱۳]. در سال ۲۰۲۱ احمد سلیمان و همکاران، به بازیابی گرمای اتلافشده از کارخانه سیمان در کشور مصر توسط چرخه رانکین آلی پرداختند. آن‌ها یک چرخه رانکین بخار و چرخه ترکیبی بخار-رانکین آلی را برای بازیابی گرمای اتلافی مورد تحلیل آنرژی و اگزرزی قرار دادند. نتایج به حاصل آمده از این پژوهش نشان می‌دهد که، اسپرپونتان به عنوان سیال عامل، قابلیت تولید انرژی ۴۴۸۳ کیلووات ساعت را دارا است اما سیکلوفونتان به علت دسترسی پذیری و ارزان قیمت بودن، به عنوان سیال عامل پیشنهاد شد [۹].

## ۲- مدل سازی چرخه رانکین آلی

این پژوهش در ادامه و توسعه‌ی تحقیقات موریرا و همکاران صورت گرفته و شکل ۵، پیکربندی استفاده شده در مقاله موریرا و همکاران را نمایش می‌دهد. این شکل که به عنوان پیکربندی اول در این پژوهش شناخته می‌شود، از اجزاء پمپ گریز از مرکز<sup>۴</sup> (PP 01)، یک واحد صرفه‌جو<sup>۵</sup> (ECO)، دو واحد تبخیر کننده<sup>۶</sup> (EVA 01 و EVA 02) و Evaporators

(کارخانه نورد) و صنعت شیشه‌سازی (کوره‌های شناور) ۷۰۵ مگاوات برآورد شده است. همچنین، نصب ORC منجر به صرفه جویی ۱/۹۵ میلیارد یورو در هزینه‌های انرژی شده و ۸/۱ میلیون تن انتشار گازهای گلخانه‌ای را کاهش می‌دهد [۱۲]. در سال ۲۰۱۳ ۲۰۱۳ سیلوین کویلین<sup>۷</sup> و همکاران، انواع چرخه رانکین آلی را از نظر منابع حرارتی مختلف مانند خورشیدی، زمین گرمایی و بازیابی گرمای اتلافشده مورد بررسی قرار دادند. نتایج بهدست آمده از این پژوهش نشان می‌دهد که در صورت بازیابی گرمای اتلافشده مبادله کن گرمایی نباید به صورت مستقیم در فرآیند جذب گرما ایفای نقش کند، آن‌ها علت این امر را تحت سه عنوان بیان کردند: ۱- در شرایط گذرا (به عنوان مثال در هنگام راهاندازی)، اگر دمای سیال عامل به بیش از دمای قابل تحمل آن برسد، ممکن است پایداری شیمیایی سیال عامل مختل شود. ۲- کنترل پذیری و پایداری سامانه‌ها در صورت تبخیر مستقیم دشوار است. ۳- به علت وجود گوگرد گازهای حاصل از احتراق دودکش، اگر دمای این گازها به دمای شبکم برسد، ممکن است مبادله کن گرمایی دچار آسیب شود؛ بنابراین آن‌ها در پژوهش خود استفاده از حلقه انتقال حرارت میانی که توسط روغن‌های حرارتی کار می‌کند را پیشنهاد دادند [۱۸]. در سال ۲۰۱۶ زین ب فرگانی<sup>۸</sup> و همکاران، به بهینه‌سازی چند معیاره مبتنی بر اگزرزی یک چرخه رانکین آلی، به جهت بازیابی گرمای اتلافشده از صنعت سیمان پرداختند. آن‌ها در پژوهش خود از سیکلوهگزان، بنزن و تولوئن به عنوان سیال عامل استفاده کردند. نتایج حاصل از این پژوهش نشان می‌دهد که، سیکلوهگزان بهترین سیال عامل از نظر ترمودینامیکی و بهترین از نظر زیستمحیطی بهترین نامزد

<sup>۱</sup> Sylvain Quoilin

<sup>۲</sup> Zineb Fergani

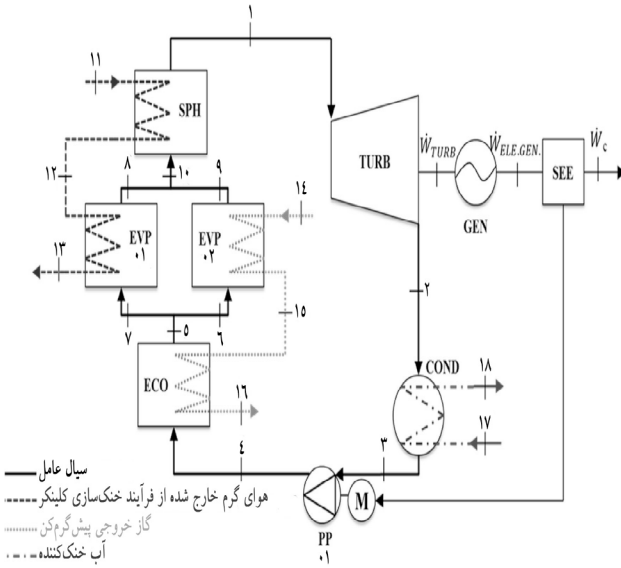
<sup>۳</sup> Moreira

<sup>۴</sup> Minas Gerais

<sup>۵</sup> Centrifugal Pump

<sup>۶</sup> Economiser

<sup>۷</sup> Evaporators



جدول ۷: داده‌های مربوط به گرمای اتلافی از صنعت سیمان [۱۳]

متغیر	واحد	مقدار
<b>داده‌های هوای داغ از فرآیند کلینکر:</b>		
نسبت مولی نیتروژن	%	۷۹/۰۰
نسبت مولی اکسیژن	%	۲۱/۰۰
دماهی هوای ورودی به سوپرھیتر	°C	۱۱۴/۰۰
دماهی هوای خروجی از اواپراتور یک	°C	۴۸/۱۵
<b>داده‌های گاز خروجی از دودکش:</b>		
نسبت مولی دی اکسیدکربن	%	۲۶/۳۰
نسبت مولی نیتروژن	%	۶۴/۵۸
نسبت مولی اکسیژن	%	۴/۴۹
نسبت مولی بخار آب	%	۴/۱۸
دماهی گاز ورودی به اواپراتور دو	°C	۳۱۰/۰۰
دماهی گاز خروجی از صرفه جو	°C	۲۲۸/۰۰
شدت جریان جرمی گاز خروجی از دودکش	kg/s	۸۸/۰۳

ابتکار در این پژوهش، استفاده از حلقه روغن حرارتی با سیال عامل Therminol 66 به جهت جلوگیری از تبخیر مستقیم بوده و شکل ۶ به عنوان پیکربندی دوم، طرح

مبادله کن گرمایی مافوق گرم کن<sup>۱</sup> (SPH)، توربین بخار<sup>۲</sup> (TURB)، چگالنده<sup>۳</sup> (COND)، ژنراتور الکتریکی<sup>۴</sup> (GEN)، پست الکتریکی<sup>۵</sup> (SEE) و یک موتور الکتریکی<sup>۶</sup> (M) برای پمپ گردی از مرکز تشکیل شده است. همچنین، جدول ۶ داده‌های مربوط به گرمای اتلاف شده از صنعت سیمان گازهای خروجی از پیش گرم کن و هوای داغ خارج شده از فرآیند خنکسازی کلینکر را بر اساس اطلاعات داخل مقاله موریرا و همکاران برای پیکربندی اول به اشتراک می‌گذارد [۱۳].

جدول ۶: داده‌های مربوط به پیکربندی اول [۱۳]

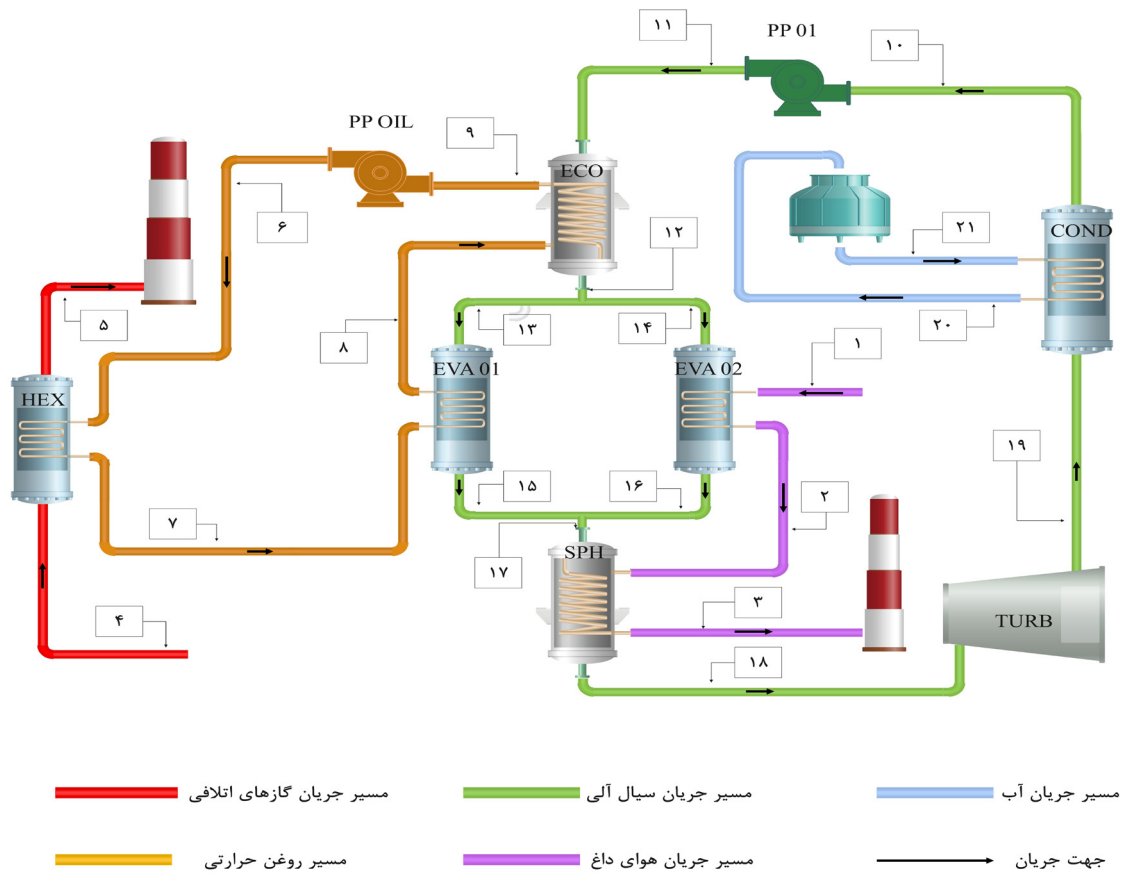
متغیر	واحد	مقدار
بازده تکانتروپی پمپ	%	۷۰/۰۰
بازده تکانتروپی توربین	%	۸۵/۰۰
دماهی کندانسور	°C	۴۵/۰۰
نسبت تراکم پمپ	-	۲۶/۷۵
فشار محیط	MPa	۰/۱۰۱
دماهی محیط	°C	۲۲/۰۰
دماهی چگالنده	°C	۳۵
کیفیت بخار ورودی به سوپرھیتر	%	۱۰۰
فشار گازهای خروجی از کارخانه سیمان	MPa	۰/۱۰۱

<sup>۱</sup> Superheater  
<sup>۲</sup> Steam Turbine  
<sup>۳</sup> Condenser  
<sup>۴</sup> Electric Generator  
<sup>۵</sup> Electrical Substation  
<sup>۶</sup> Electric Motor

فرضیات حاکم در مدلسازی عبارتنداز:

- ۱ صرف نظر از تغییرات انرژی جنبشی و پتانسیل در تمام چرخه.
- ۲ تمامی فرآیندها پایا و آدیابتیک هستند.
- ۳ صرف نظر از افت فشار درون لوله‌ها و مبادله‌کن‌های گرمایی.
- ۴ هوای داغ و گاز خروجی از پیش‌گرم‌کن به عنوان گاز ایده‌آل.

توسعه یافته از پیکربندی اول را به تصویر می‌کشد. به جهت ارزیابی این پیکربندی، از قانون اول ترمودینامیک (برای اندازه‌گیری کمیت انرژی در فرآیندها)، قانون دوم ترمودینامیک (برای محاسبه کیفیت انرژی در فرآیندها) و نیز از روابط اگزرزی (برای محاسبه کار از دست رفته) استفاده شده است. علاوه بر جداول ۶ و ۷ که به عنوان داده‌های این پیکربندی شمرده می‌شوند. جدول ۸، همچنین، شبیه‌سازی انجام شده در این پژوهش توسط نرم‌افزار حل‌گر معادلات مهندسی<sup>۱</sup> (EES) صورت گرفته و جدول ۹ سیالات عامل موجود در کتابخانه این نرم‌افزار که توسط محققان پیشنهاد شده‌اند را به اشتراک می‌گذارد.



شکل ۶: پیکربندی دوم

آنگ  $\dot{Q}_{cv}$  آنگ کار مبادله شده،  $\dot{W}_{cv}$  در این رابطه، محاسبه آنتالپی مخصوص است. گرمای مبادله شده و مقدار گرمای جذب شده در پیکربندی اول و دوم به ترتیب مطابق روابط (۳) و (۴) می‌باشد.

$$\dot{Q}_{in} = \dot{m}_1(h_1 - h_4) \quad (3)$$

$$\dot{Q}_{in} = \dot{m}_1(h_{18} - h_{11}) \quad (4)$$

توان خالص خروجی از پیکربندی اول و دوم به ترتیب مطابق روابط (۵) و (۶) به دست می‌آید.

$$\dot{W}_{net} = \dot{W}_{TURB} + \dot{W}_{PP01} \quad (5)$$

$$\dot{W}_{net} = \dot{W}_{TURB} + \dot{W}_{PP01} + \dot{W}_{OilP} \quad (6)$$

بازده حرارتی برای هر دو پیکربندی مطابق رابطه (۷) محاسبه می‌شود.

(۷)

$$\eta_{th} = \left( \frac{\dot{W}_{net}}{\dot{Q}_{net}} \right) \cdot 100$$

جدول ۸: داده‌های ورودی گازهای خروجی از فرآیند تولید سیمان

متغیر	واحد	مقدار
دمای کمینه حلقه روغن	°C	۱۵۰
بازده تکانتروپی پمپ روغن	%	۷۰/۰۰
فشار کمینه حلقه روغن	kPa	۱۶۰
نسبت تراکم حلقه روغن	-	۲/۵
بازده مبادله کن گرمایی	%	۷۵
کیفیت سیال خروجی از صرفجو	%	.

### ۱-۳- تحلیل قانون اول ترمودینامیک

قانون پیوستگی در شرایط پایا برای حجم کنترل مطابق رابطه (۱) است [۱۳ و ۳۱]:

$$\sum \dot{m}_{in} = \sum \dot{m}_{out} \quad (1)$$

که در آن، شدت جریان جرمی بوده و اندیشهای  $i$  و  $e$  به ترتیب ورودی و خروجی را تعریف می‌کنند. قانون اول ترمودینامیک برای حجم کنترل مطابق رابطه (۲) است.

$$\dot{Q}_{cv} - \dot{W}_{cv} + \sum \dot{m}_i h_i - \sum \dot{m}_e h_e = 0 \quad (2)$$

جدول ۹: سیالات آلی منتخب در مقالات

منبع	شرایط زیست محیطی			شرایط بحرانی				سیال عامل (kg/kmol)	جرم مولکولی
	اشتعال پذیری و قابلیت سمیت بر اساس استاندارد ASHRAE	GWP	ODP	فشار بحرانی (bar)	دمای بحرانی (°C)	دمای جوش در فشار اتمسفر (°C)	نوع سیال		
هیدروکربن‌ها									
[۲۴ و ۲۰ و ۱۹]	غیرسمی و اشتعال پذیر	۳	.	۴۰/۱	۱۴۴/۹	-۷/۰	تک انتروپی خشک	۵۶/۱	R-600a
[۳۰ و ۲۹]	سمی و اشتعال ناپذیر	۷۷	۰/۰۲	۳۶/۶	۱۸۳/۶	۲۷/۸۳	تک انتروپی خشک	۱۵۲/۹	R-123
[۲۵]	غیرسمی و اشتعال ناپذیر	۱	.	۳۵/۷	۱۶۵/۶	۱۷/۹۲	خشک	۱۳۰/۰۵	R-1233zd(E)
[۲۵ و ۲۰]	غیرسمی و اشتعال پذیر	۱	.	۳۵/۳	۱۵۳/۷	۱۵/۷	تک انتروپی مرطوب	۱۱۴/۰۴	R1234ze(Z)
الکل‌ها									
[۲۹ و ۲۸]	غیرسمی و اشتعال پذیر	-	-	۸۲/۱۵	۲۳۹/۴	۷۸/۴۲	مرطوب	۳۲/۰۴۲	Ethanol

وهمکاران، در پژوهش جاری استفاده گردیده است. نتایج این مقایسه نشان می‌دهد که، بیشترین اختلاف میان نتایج موریرا و همکاران و پژوهش حاضر حدود ۶/۷٪ است، می‌توان اظهار نمود که پژوهش جاری از اعتبار قابل قبولی برخوردار است.

#### ۴-۲- تحلیل ترمودینامیکی

شکل ۷ عملکرد سیالات منتخب را بر روی بازده حرارتی و بازده اگزرژی نمایش می‌دهد. مطابق این شکل، اтанول با بازده حرارتی ۲۲/۹۱٪ و بازده اگزرژی ۱۸/۲۴٪ بهترین عملکرد را نسبت به دیگر سیالات دارا است. همچنین شکل‌های ۸ و ۹ به ترتیب عملکرد سیالات منتخب را بر روی توان خالص تولیدی و تخریب اگزرژی کل نمایش می‌دهند. از نظر توان تولیدی، اتانول با ۱۳/۶۲ kW بیشترین توان خالص را تولید کرده است و از نظر تخریب اگزرژی کل، با ۸/۴۱ kW کمترین مقدار اگزرژی تخریب شده را به خود اختصاص داده است. بنابراین، به علت عملکرد قابل توجه اتانول نسبت به دیگر سیالات در این پژوهش به عنوان سیال منتخب در نظر گرفته شده است.

جدول ۱۰: مقایسه نتایج پژوهش حاضر با تحقیق موریرا و همکاران

درصد خطای (%)	نتایج موریرا [۱۳] و همکاران	نتایج پژوهش حاضر	عنوان
۶/۷	۴۷۶۸	۴۴۴۸	$\dot{W}_{net}$ (kW)
۰/۰۷	۵۴/۷۹	۵۴/۷۵	$\dot{m}_l$ (kg/s)
		R141b	سیال عامل R141b
۴/۴	۴۳۷۶	۴۱۸۱	$\dot{W}_{net}$ (kW)
۰/۶	۷۷/۳۸	۷۷/۸۵	$\dot{m}_l$ (kg/s)
		R123	سیال عامل R123

#### ۲-۳- تحلیل قانون دوم ترمودینامیک

بازده اگزرژی (ex) برای پیکربندی اول و دوم به ترتیب مطابق روابط (۸) و (۹) محاسبه می‌شود.

(۸)

$$\eta_{ex} = \left[ \frac{\dot{W}_{net}}{\dot{m}_l(ex_1 - ex_4)} \right] \cdot 100 \quad (9)$$

$$\eta_{ex} = \left[ \frac{\dot{W}_{net}}{\dot{m}_l(ex_{18} - ex_{11})} \right] \cdot 100 \quad (10)$$

در روابط (۸) و (۹) (ex) اگزرژی جریانی است که مطابق رابطه (۱۰) می‌توان آن را محاسبه کرد.

$$ex_i = h_i - h_0 - T_0(s_i - s_0) \quad (10)$$

تخریب اگزرژی (Ed) ناشی از بازگشت ناپذیری‌ها در پیکربندی اول و دوم را می‌توان به ترتیب با معادلات (۱۱) و (۱۲) بیان کرد.

$$\dot{E}_d = \dot{m}_l(ex_1 - ex_4) - \dot{W}_{net} \quad (11)$$

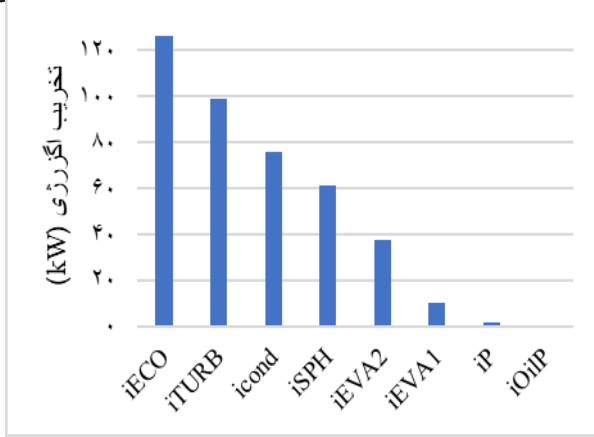
$$\dot{E}_d = \dot{m}_l(ex_{18} - ex_{11}) - \dot{W}_{net} \quad (12)$$

#### ۳- نتایج و بحث

در بخش جاری، ابتدا به اعتبار سنجی این پژوهش پرداخته شده و در ادامه نتایج حاصل از تحلیل ترمودینامیکی مورد بحث قرار گرفته شده است.

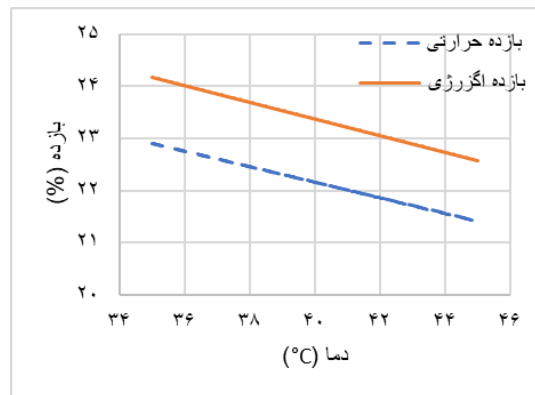
#### ۴-۱- اعتبار سنجی

به منظور اعتبارسنجی پژوهش حاضر نسبت به تحقیق موریرا و همکاران، نتایج به دست آمده برای پیکربندی اول، توسط دو سیال عامل R141b و R123 در جدول ۱۰ مقایسه شده‌اند. نحوه اعتبارسنجی بدین صورت است که، تمامی فرضیات و داده‌های استفاده شده در پژوهش موریرا



شکل ۱۰: تخریب اگزرسی اجزاء توسط سیال عامل اتابول.

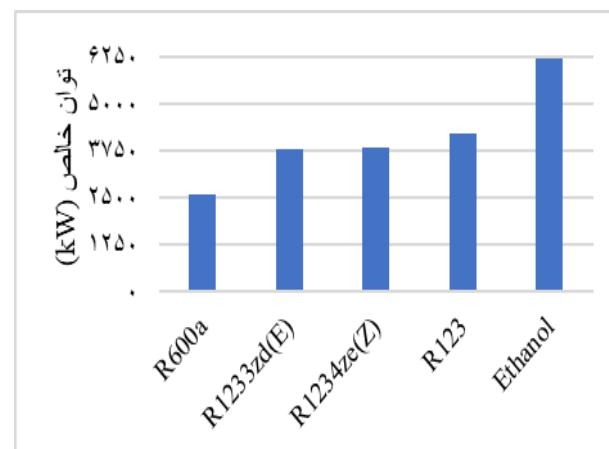
چگالنده به عنوان یکی از اجزاء اصلی چرخه رانکین آلی، تاثیر قابل توجهی بر روی بازده اگزرسی، بازده حرارتی و توان خالص تولیدی می‌گذارد. با ثابت بودن گرمای وارد شده بر چرخه رانکین آلی، شکل ۱۱ تاثیر تغییرات دمای چگالنده بر روی بازده حرارتی و بازده اگزرسی را نمایش می‌دهد. مطابق این شکل، با افزایش هر یک درجه دمای چگالنده، به طور تقریبی بازده حرارتی  $0.65\%$  و بازده اگزرسی  $0.66\%$  درصد کاهش می‌یابد. همچنین شکل ۱۲ تاثیر تغییرات دمای چگالنده بر روی توان خالص را نشان می‌دهد. مطابق این شکل، با افزایش هر یک درجه دمای چگالنده، به طور تقریبی توان خالص  $0.65\%$  کاهش می‌یابد. هرچند که این افزایش دما مطابق شکل ۱۳ موجب کاهش تخریب اگزرسی در صرفه جو می‌شود؛ اما در دیگر اجزاء، تخریب اگزرسی افزایش می‌یابد.



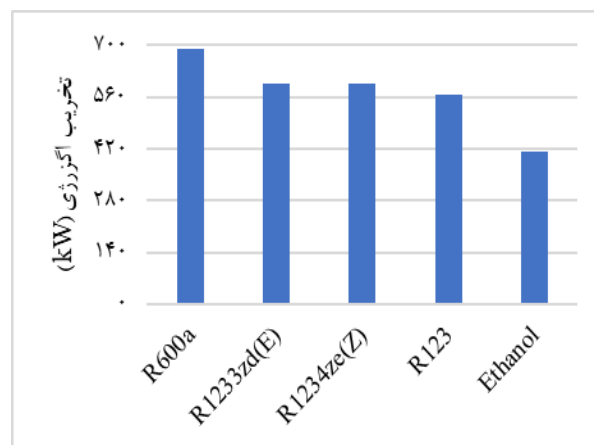
شکل ۱۱: تاثیر دمای چگالنده بر روی توان بازده حرارتی و اگزرسی.



شکل ۷: بازده حرارتی و بازده اگزرسی سیالات منتخب.



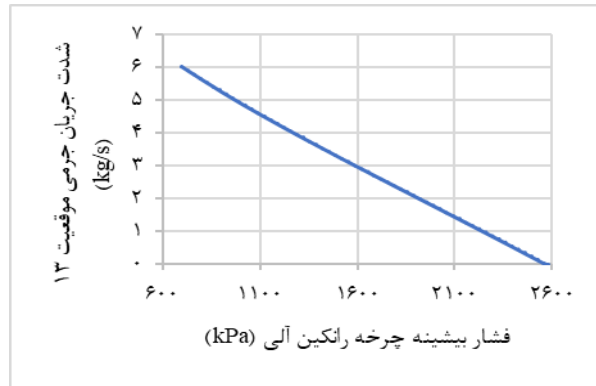
شکل ۸: توان خالص سیالات منتخب.



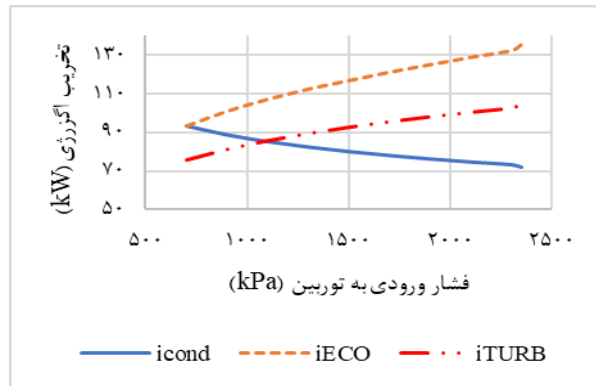
شکل ۹: اگزرسی تخریب شده کل سیالات منتخب.

شکل ۱۰ تخریب اگزرسی برای اجزاء به کار رفته توسط اتابول را نمایش می‌دهد. صرفه جو، توربین بخار و چگالنده به ترتیب بیشترین تخریب اگزرسی را به دنبال خود دارند. طبق این امر، این سه دستگاه بیشتر مورد توجه قرار گرفته‌اند.

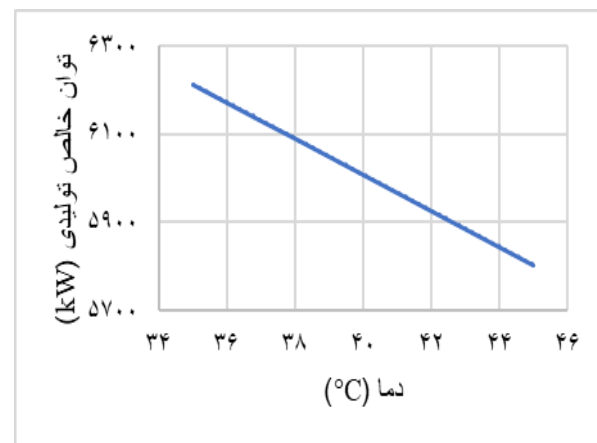
با افزایش فشار سیال ورودی به توربین بخار، تحریب اگزرسی در چگالنده کاهش می‌یابد. بنابراین، هر چند با افزایش فشار سیال ورودی به توربین بخار تحریب اگزرسی در توربین بخار و صرفه‌جو افزایش یافته است؛ اما بازده اگزرسی و بازده حرارتی به ترتیب به علت کاهش تحریب اگزرسی کل و افزایش توان خالص تولیدی مطابق شکل ۱۷ افزایش می‌یابند. به طور خلاصه، با افزایش هر kPa ۱۰۰٪ فشار ورودی به توربین بخار، توان خالص ۲/۷٪، بازده حرارتی ۲/۷٪ و بازده اگزرسی ۲/۶٪ به طور تقریبی افزایش می‌یابند.



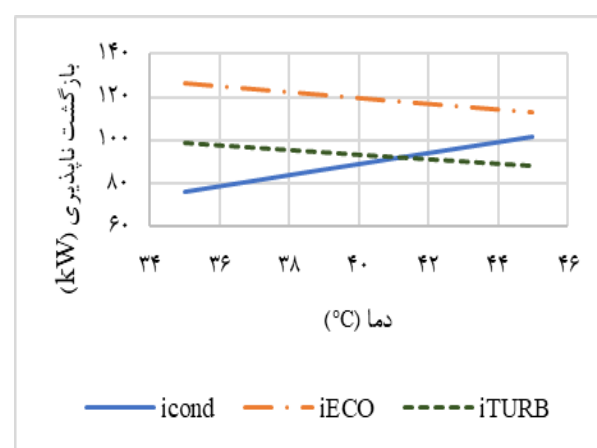
شکل ۱۴: تغییرات فشار سیال ورودی به توربین بخار بر روی شدت جریان جرمی موقعیت ۱۳.



شکل ۱۵: تغییرات فشار سیال ورودی به توربین بخار بر روی توان خالص.

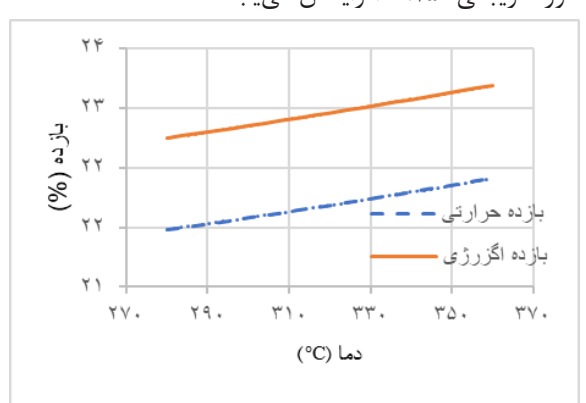


شکل ۱۲: تاثیر دمای چگالنده بر روی توان خالص.

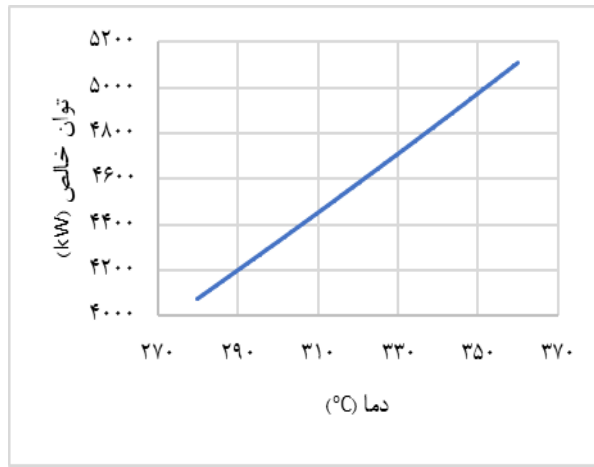


شکل ۱۳: اثر تغییرات دمای چگالنده بر روی بازگشت ناپذیری اجزاء.

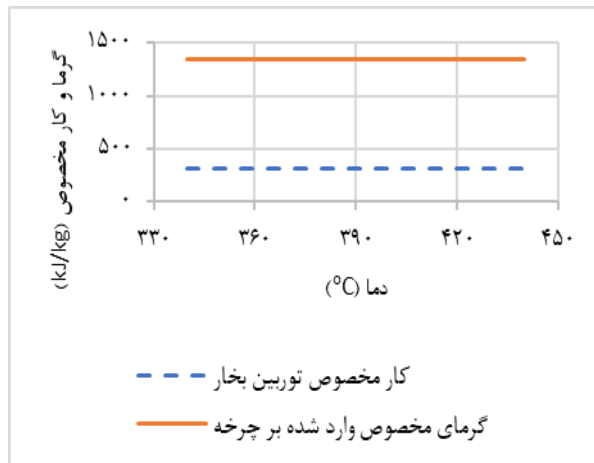
شکل ۱۴ تغییرات فشار سیال ورودی به توربین بخار بر روی شدت جریان جرمی موقعیت ۱۳ (سیال آبی ورودی به ۰۱ EVA) را نمایش می‌دهد. با افزایش هر ۱۰۰ kPa فشار ورودی به توربین بخار، شدت جریان جرمی موقعیت ۱۳ به علت ناتوانی در تامین گرمای مورد نیاز توسط حلقه روغن حرارتی به طور تقریبی ۶/۵٪ کاهش پیدا می‌کند. از طرف دیگر، با افزایش فشار سیال ورودی به توربین بخار، اختلاف آنتالپی ورودی و خروجی افزایش یافته و به دنبال آن توان خالص و تحریب اگزرسی به ترتیب مطابق شکل‌های ۱۵ و ۱۶ افزایش می‌یابند. علاوه بر توربین بخار، این افزایش فشار موجب افزایش اختلاف دما در دو جریان صرفه‌جو شده و در نتیجه تحریب اگزرسی مطابق شکل ۱۶ افزایش می‌یابد. همچنین مطابق این شکل،



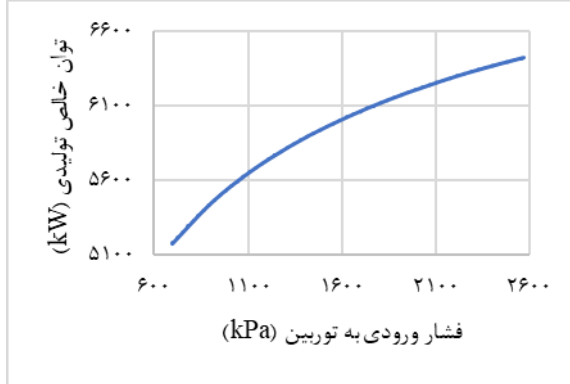
شکل ۱۸: تغییرات دمای هوا استفاده شده برای خنکسازی کلینکر بر روی بازده حرارتی و اگزرسی.



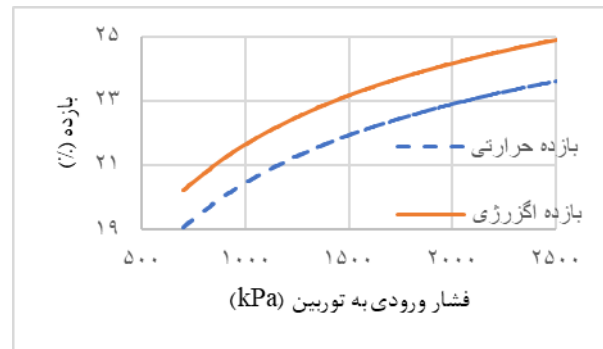
شکل ۱۹: تغییرات دمای هوا استفاده شده برای خنکسازی کلینکر بر روی توان خالص.



شکل ۲۰: تغییرات دمای گازهای خروجی از پیش گرمکن بر روی گرما و کار مخصوص.

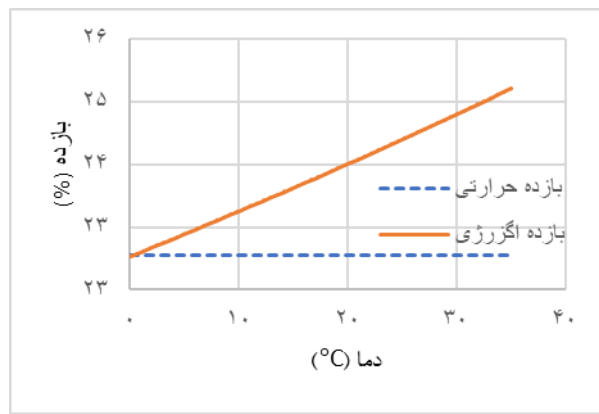


شکل ۱۶: تغییرات فشار ورودی به توربین بخار بر روی تخریب اگزرسی.

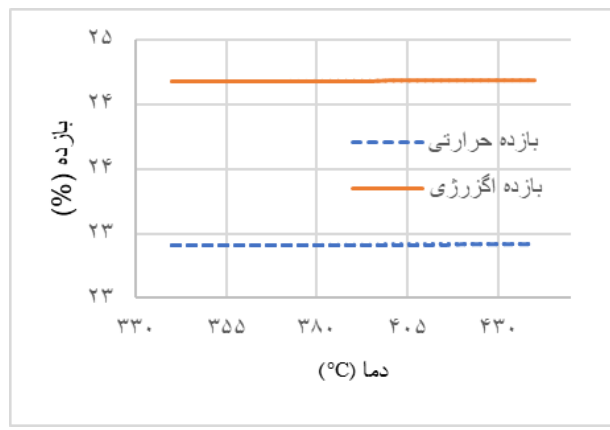


شکل ۱۷: تغییرات فشار ورودی به توربین بخار بر روی بازده حرارتی و اگزرسی.

در پیکربندی دوم، سیال آلی خروجی از صرفجو به صورت مایع اشباع و سیال آلی خروجی از تبخیرکننده‌ها به صورت بخار اشباع می‌باشند. با این حال مطابق شکل ۱۸ با افزایش هر  $10^{\circ}\text{C}$  دمای هوای استفاده شده برای خنکسازی کلینکر، بازده حرارتی و بازده اگزرسی به ترتیب  $0.37\%$  و  $0.35\%$  (به میزان تقریبی) افزایش می‌یابند. همچنین با افزایش هر  $10^{\circ}\text{C}$  دمای این شاخص، توان خالص تولیدی مطابق شکل ۱۹ به طور تقریبی  $3\%$  افزایش می‌یابد. مطابق شکل ۲۰ با افزایش دمای گازهای خروجی از پیش گرمکن، کار مخصوص توربین و گرمای مخصوص وارد شده بر چرخه روند ثابتی را طی می‌کنند. بنابراین با افزایش این شاخص، بازده حرارتی و بازده اگزرسی مطابق شکل ۲۱ تقریباً ثابت می‌ماند؛ اما این افزایش دما موجب افزایش شدت جریان جرمی ورودی به توربین بخار شده و در نتیجه مطابق شکل ۲۲، با افزایش هر  $10^{\circ}\text{C}$  دمای گازهای خروجی از پیش گرمکن، توان خالص تولیدی به



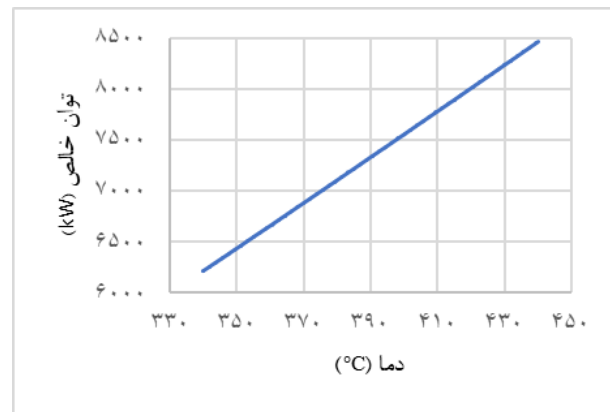
شکل ۲۳: تغییرات دمای محیط بر روی بازده حرارتی و بازده اگزرسی.



شکل ۲۱: تغییرات دمای گازهای خروجی از پیش‌گرم کن بر روی بازده حرارتی و بازده اگزرسی.

## ۵- نتیجه‌گیری

این پژوهش به منظور بازیابی گرمای اتلاف شده از صنعت سیمان توسط چرخه رانکین آلى صورت گرفته است. به منظور کنترل فرآیند تبخیر و جلوگیری از خوردگی مبادله‌کن‌های گرمایی، از حلقه روغن حرارتی با سیال عامل Therminol 66 برای تبادل حرارت میان گازهای خروجی از پیش‌گرم کن و چرخه رانکین آلى استفاده شده است. از میان سیالاتی همچون Ethanol، R123، R1233ze(E)، R1234ze(Z) و R600a، اتانول با تولید توان خالص kW ۶۲۱۳٪، بازده حرارتی ۹۱/۲٪ و بازده اگزرسی ۱۸/۲٪ بهترین عملکرد را نسبت به دیگر سیالات پیشنهادی دارد. همچنین اثر شاخص‌های موثر بر چرخه رانکین آلى مورد بررسی قرار گرفته است که نتایج مهم به شرح زیر می‌باشند:



شکل ۲۲: تغییرات دمای گازهای خروجی از پیش‌گرم کن بر روی توان خالص.

شکل ۲۳ اثر تغییرات دمای محیط بر روی بازده حرارتی و بازده اگزرسی را نمایش می‌دهد. نتایج بیان می‌کنند که با افزایش هر یک درجه دمای محیط، بازده حرارتی ثابت و بازده اگزرسی به طور تقریبی ۰/۰٪ افزایش می‌یابد.

- با افزایش هر یک درجه دمای چگالنده، توان خالص و بازده حرارتی به مقدار تقریبی ۰/۶۵٪ و بازده اگزرسی به مقدار تقریبی ۰/۶۶٪ کاهش می‌یابند.

- با افزایش هر ۱۰۰ kPa فشار سیال ورودی به توربین بخار، شدت جریان جرمی سیال آلى ورودی به تبخیر کننده یک، حدود ۵/۶٪ کاهش می‌یابد.

125500.

[3] Khabbazan, M. M. and C. Von Hirschhausen, The implication of the Paris targets for the Middle East through different cooperation options. *Energy Economics*, 2021. 104: p. 105629.

[4] Zamanipour, B., H. Ghadaksaz, I. Keppo and Y. Saboohi, Electricity supply and demand dynamics in Iran considering climate change-induced stresses. *Energy*, 2023. 263: p. 126118.

[5] Caro, D., Greenhouse gas and livestock emissions and climate change. 2019.

[6] Jouhara, H., N. Khordehgah, S. Almahmoud, B. Delpech, A. Chauhan and S. A. Tassou, Waste heat recovery technologies and applications. *Thermal Science and Engineering Progress*, 2018. 6: p. 268-289.

[7] Brückner, S., S. Liu, L. Miró, M. Radspieler, L. F. Cabeza and E. Lävemann, Industrial waste heat recovery technologies: An economic analysis of heat transformation technologies. *Applied Energy*, 2015. 151: p. 157-167.

[8] Peris, B., J. Navarro-Esbri, F. Molés and A. Mota-Babiloni, Experimental study of an ORC (organic Rankine cycle) for low grade waste heat recovery in a ceramic industry. *Energy*, 2015. 85: p. 534-542.

[9] Khater, A., A. Soliman, T. S. Ahmed and I. M. Ismail, Power generation in white cement plants from waste heat recovery using steam-organic combined Rankine cycle. *Case Studies in Chemical and Environmental Engineering*, 2021. 4: p. 100138.

[10] Fergani, Z., D. Touil and T. Morosuk, Multi-criteria exergy based optimization of an Organic Rankine Cycle for waste heat recovery in the cement industry. *Energy Conversion and Management*, 2016. 112: p. 81-90.

[11] Ansari, N. and A. Seifi, A system dynamics model for analyzing energy consumption and CO<sub>2</sub> emission in Iranian cement industry under various production and export scenarios. *Energy Policy*, 2013. 58: p. 75-89.

[12] Campana, F., M. Bianchi, L. Branchini, A. De Pascale, A. Peretto, M. Baresi, et al., ORC waste heat recovery in European energy intensive industries: Energy and GHG savings. *Energy Conversion and Management*, 2013. 76: p. 244-252.

[13] Moreira, L. and F. Arrieta, Thermal and economic

تحليل انرژی و اگزرزی چرخه رانکین آلی استفاده شده ...

همچنین طبق این افزایش فشار، بازده حرارتی و بازده اگزرزی به ترتیب ۰٪/۶۷ و ۰٪/۲۷ درصد افزایش می‌یابند.

- با افزایش هر ۱۰ °C دمای هوای استفاده شده برای خنکسازی کلینکر، بازده حرارتی و بازده اگزرزی به ترتیب ۰٪/۳۷ و ۰٪/۳۵ افزایش می‌یابند.

- با افزایش هر ۱۰ °C دمای گازهای خروجی از پیش گرم کن، بازده حرارتی و بازده اگزرزی تقریباً ثابت اما توان خالص تولیدی ۳/۵٪ افزایش می‌یابد.

- با افزایش هر ۱۰ °C دمای محیط، بازده حرارتی ثابت و بازده اگزرزی ۰٪/۰۰۰ افزایش می‌یابد.

## ۶- فهرست علائم

علائم انگلیسی

اگزرزی،	<i>ex</i>
انتالپی مخصوص،	<i>h</i>
شدت جریان جرمی،	<i>m̄</i>
فشار،	<i>P</i>
اهنگ انتقال گرمای،	<i>Q</i>
انتروپی مخصوص،	<i>s</i>
°C، دما،	<i>T</i>
اهنگ کار مبادله شده،	<i>W</i>

علائم یونانی

% بازده،	<i>η</i>
----------	----------

زیرنویس

حجم کنترل	<i>c<sub>v</sub></i>
خروجی	<i>e</i>
اگزرزی	<i>ex</i>
ورودی	<i>i</i>
خالص	<i>net</i>
پمپ حلقة روغن	<i>OilP</i>
پمپ چرخه رانکین آلی	<i>PP01</i>
توربین	<i>Turb</i>
حرارتی	<i>th</i>

## ۷- منابع و مراجع

- [1] Ghadaksaz, H. and Y. Saboohi, Energy supply transformation pathways in Iran to reduce GHG emissions in line with the Paris Agreement. *Energy Strategy Reviews*, 2020. 32: p. 100541.2.
- [2] Souhankar, A., A. Mortezae and R. Hafezi, and R. Hafezi, Potentials for energy-saving and efficiency capacities in Iran: An interpretive structural model to prioritize future national policies. *Energy*, 2023. 262: p.

- [24] Shi, L., G. Shu, H. Tian and S. Deng, A review of modified Organic Rankine cycles (ORCs) for internal combustion engine waste heat recovery (ICE-WHR). *Renewable and Sustainable Energy Reviews*, 2018. 92: p. 95-110.
- [25] Yang, J., Z. Ye, B. Yu, H. Ouyang and J. Chen, Simultaneous experimental comparison of low-GWP refrigerants as drop-in replacements to R245fa for Organic Rankine cycle application: R1234ze (Z), R1233zd (E), and R1336mzz (E). *Energy*, 2019. 173: p. 721-731.
- [26] Hemadri, V.B. and P. Subbarao, Thermal integration of reheated organic Rankine cycle (RH-ORC) with gas turbine exhaust for maximum power recovery. *Thermal Science and Engineering Progress*, 2021. 23: p. 100876.
- [27] Yu, H., H. Helland, X. Yu, T. Gundersen and G. Sin, Optimal design and operation of an Organic Rankine Cycle (ORC) system driven by solar energy with sensible thermal energy storage. *Energy Conversion and Management*, 2021. 244: p. 114494.
- [28] Herath, H., M. Wijewardane, R. Ranasinghe and J. Jayasekera, Working fluid selection of organic Rankine cycles. *Energy Reports*, 2020. 6: p. 680-686.
- [29] Javanshir, A. and N. Sarunac. Effect of the working fluid on performance of the ORC and combined Brayton/ ORC cycle. in *Energy Sustainability*. 2017. American Society of Mechanical Engineers.
- [30] Satanphol, K., W. Pridasawas, and B. Suphanit, A study on optimal composition of zeotropic working fluid in an Organic Rankine Cycle (ORC) for low grade heat recovery. *Energy*, 2017. 123: p. 326-339.
- [31] Cengel, Y.A., M.A. Boles, and M. Kanoğlu, *Thermodynamics: an engineering approach*. Vol. 5. 2011: McGraw-hill New York.
- assessment of organic Rankine cycles for waste heat recovery in cement plants. *Renewable and Sustainable Energy Reviews*, 2019. 114: p. 109315.
- [14] Liu, Z., X. Wang, Q. Zhang and C. Huang, Empirical mode decomposition based hybrid ensemble model for electrical energy consumption forecasting of the cement grinding process. *Measurement*, 2019. 138: p. 314-324.
- [15] Zeb, K., S. M. Ali, B. Khan, C. A. Mehmood, N. Tareen, W. Din, et al., A survey on waste heat recovery: Electric power generation and potential prospects within Pakistan. *Renewable and Sustainable Energy Reviews*, 2017. 75: p. 1142-1155.
- [16] Pantaleo, A. M., J. Fordham, O. A. Oyewunmi, P. De Palma and C. N. Markides, Integrating cogeneration and intermittent waste-heat recovery in food processing: Microturbines vs. ORC systems in the coffee roasting industry. *Applied energy*, 2018. 225: p. 782-796.
- [17] Marmier, A., Decarbonisation options for the cement industry. 2023.
- [18] Quoilin, S., M. Van Den Broek, S. Declaye, P. Dewallef and V. Lemort, Techno-economic survey of Organic Rankine Cycle (ORC) systems. *Renewable and sustainable energy reviews*, 2013. 22: p. 168-186.
- [19] Shahrooz, M., P. Lundqvist, and P. Nekså, Performance of binary zeotropic mixtures in organic Rankine cycles (ORCs). *Energy Conversion and Management*, 2022. 266: p. 115783.
- [20] Bahrami, M., F. Pourfayaz, and A. Kasaeian, Low global warming potential (GWP) working fluids (WFs) for Organic Rankine Cycle (ORC) applications. *Energy Reports*, 2022. 8: p. 2976-2988.
- [21] Xu, W., R. Zhao, S. Deng, L. Zhao and S. S. Mao, Is zeotropic working fluid a promising option for organic Rankine cycle: A quantitative evaluation based on literature data. *Renewable and Sustainable Energy Reviews*, 2021. 148: p. 111267.
- [22] Ciconkov, R., Refrigerants: There is still no vision for sustainable solutions. *International Journal of Refrigeration*, 2018. 86: p. 441-448.
- [23] Bolaji, B. and Z. Huan, Ozone depletion and global warming: Case for the use of natural refrigerant—a review. *Renewable and Sustainable Energy Reviews*, 2013. 18: p. 49-54.